

DAI - Deutsches Archäologisches Institut

ΓΕΡΜΑΝΙΚΟ ΑΡΧΑΙΟΛΟΓΙΚΟ ΙΝΣΤΙΤΟΥΤΟ



Μελέτη Συντήρησης:

Αποκατάσταση Εργαστηρίου Φειδία – Παλαιοχριστιανικής Βασιλικής στην Ολυμπία



Μελετητής:

Σωτηρόπουλος Άγγελος, Συντηρητής Αρχαιοτήτων (MSc) (DAI ATHEN)

Αθήνα 2021

Περιεχόμενα

Εισαγωγή

1. Τοποθεσία – Κλίμα – Γεωλογία
 2. Ιστορικά στοιχεία
 3. Υλικά κατασκευής
 4. Κατάσταση διατήρησης – Παθολογία
 5. Εργαστηριακοί έλεγχοι υλικών
 - 5.1 Αποτελέσματα – Συμπεράσματα
 6. Προτάσεις Συντήρησης
- Πίνακας σχεδίων
Λίστα εικόνων
Σχέδια παθολογίας και σπεμβάσεων
- Παραρτήματα
- I. Μετεωρολογικά στοιχεία
 - II. Μελέτη υφιστάμενων κονιαμάτων και πρόταση νέων συνθέσεων κονιαμάτων συντήρησης, Α. Γαλανού, Γ. Δογάνη, Κ. Ιεσσαί, Αθήνα 2018
 - III. Μελέτη αυθεντικών δομικών υλικών και σχεδιασμός νέων συνθέσεων κονιαμάτων συντήρησης I. Δογάνη, N. Καλαμπόκα, A. Γαλανού. Αθήνα 2020

Το παρόν σχέδιο συνοδεύεται
την με αριθ. πρωτ. 260562/7-6-2021
ΥΠ.ΠΟ.Α./ΓΔΑΜΤΕ/ΔΑΒΜΑ...../
Απόφαση.



ΘΕΜΙΣΤΟΚΛΗΣ ΜΙΛΙΑΗΣ
ΔΙΠΛ. ΑΡΧΙΣΚΕΠΤΟΝ ΜΗΧΑΝΙΚΟΣ
ΕΘΝΙΚΟΥ ΜΕΤΣΟΒΟΝ ΠΟΛΥΤΕΧΝΕΟΥ
ΜΕΛΟΣ Σ.Ε.Ε.ΑΡΓΩΜΟΣ ΜΗΤΡΩΟΥ 62684
Α.Φ.Μ: 050720253 ΔΟΥ: Ν. 2 ΜΥΡΗΗ
ΙΙ. ΙΣΑΚΕΙΜ 4, 171 21 Ν. Σ.Ι.Α.Υ.Π.Ν.Ε

Εισαγωγή

Η παρούσα μελέτη ακολουθεί την αρχιτεκτονική μελέτη του αρχιτέκτονα μηχανικού Θ. Μπλή με τίτλο Αποκατάσταση του εργαστηρίου του Φειδία – Παλαιοχριστιανικής Βασιλικής στην Ολυμπία και διαρθρώνεται σε έξι μέρη. Στο πρώτο δίδονται στοιχεία για την τοποθεσία, το κλίμα και τη γεωλογία της ευρύτερης περιοχής του αρχαιολογικού χώρου της Αρχαϊκής Ολυμπίας, στο δεύτερο παρέχονται στοιχεία για την ιστορία του μνημείου, στο τρίτο γίνεται περιγραφή των υλικών κατασκευής του, στο τέταρτο γίνεται αναφορά στην κατάσταση διατήρησης, την παθολογία και τα αίτια φθοράς των δομικών υλικών, στο πέμπτο αναφέρονται τα αποτελέσματα των εργαστηριακών ελέγχων των βασικών κονιαμάτων δόμησης και, τέλος, στο έκτο αναφέρονται οι προτάσεις, συντήρησης και επέμβασης στο μνημείο, ακολουθώντας τις διεθνείς αρχές που έχουν υιοθετηθεί από το Υπουργείο Πολιτισμού και Αθλητισμού.

Η παρούσα μελέτη συντάχθηκε μετά από επανειλημμένες επισκέψεις στο πεδίο, οι οποίες περιέλαβαν παρατήρηση των προβλημάτων *in situ*, φωτογραφική τεκμηρίωση της κατάστασης διατήρησης και των φθορών, αναγνώριση των διαφορετικών δομικών υλικών, όπως επίσης και τη δειγματοληψία των βασικών κονιαμάτων δόμησης μετά από έγκριση των αρμόδιων φορέων του ΥΠΠΟ¹.

Η καταγραφή των δομικών υλικών και η χαρτογράφηση των φθορών και των προτεινόμενων επεμβάσεων πραγματοποιήθηκαν ψηφακά, σε υπόβαθρο σχεδίων αποτύπωσης υπό κλίμακα 1:50 του αρχιτεκτονικού γραφείου *Imantosis*.

Οι αναλύσεις των κονιαμάτων δόμησης, καθώς και η πρώτη δειγματοληψία, πραγματοποιήθηκαν από την εταιρεία *Lithos συντήρησης ΕΠΕ*, ενώ η δεύτερη δειγματοληψία από τον συνάδεντα *Ευχαριστούμε θερμά τη συντηρήτρια αρχαιοτήτων της Εφορείας Αρχαιοτήτων Ηλείας κ. Λουκία Βούζα*, υπό την επίβλεψη καμιμε τη βοήθεια

της οποίας συλλέχθηκαν τα δείγματα κονιάματος καθώς και την προστασίαν της ΕΦΑ
Ηλείας Δρ. Ερωφίλη-Ιερίδα Κάλλα για τη γενικότερη συνεργασία.



¹ Αρ. πρωτ. ΥΠΠΟΔ/ΓΔΑΜΤΕ/ΔΕΤΥΜΕΑ/ΠΤΕΑΠ/324012/33415/494/234/17-7-2018 και
Αρ. πρωτ. ΥΠΠΟΔ/ΓΔΑΜΤΕ/ΔΕΤΥΜΕΑ/ΠΤΕΑΠ/575340/60352/1234/159/29-10-2019.

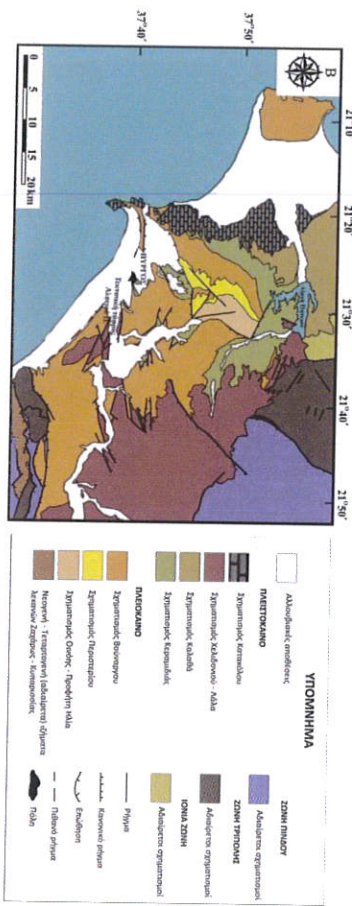
1. Τοποθεσία - Κλίμα - Γεωλογία

Ο αρχαιολογικός χώρος της αρχαίας Ολυμπίας βρίσκεται στη Δυτική Πελοπόννησο, στο νομό Ηλείας, πλησίον της κοιλάδας του ποταμού Αλφειού. Απλώνεται νοτιοδυτικά του Κρονίου λόφου και περικλείεται από τους ποταμούς Κλαδέο και Αλφεό, οι οποίοι και ενύωνται στην περιοχή αυτή. Η απόσταση του αρχαιολογικού χώρου από τη θάλασσα είναι περίπου 11,50κλμ, ενώ το υψόμετρο από τη στάθμη της θάλασσας είναι περίπου 45 μέτρα (Εικ. 1).

Το κλίμα της Δυτικής Πελοποννήσου είναι σε γενικές γραμμές μεσογειακό και χαρακτηρίζεται από θερινά καλοκαίρια και έπονες βροχοπτώσεις μέσης πυΐς από 800mm στις πεδινές περιοχές μέχρι 1.600mm στα ορεινά. Σύμφωνα με τα μετεωρολογικά στοιχεία του έτους 2019 για την πόλη της Ολυμπίας, η μέση μέγιστη θερμοκρασία κυμάνθηκε στους 24,2°C, με τις υψηλότερες θερμοκρασίες να παρατηρούνται τον μήνα Αύγουστο (μέση μέγιστη 35°C, μέγιστη 40°C), ενώ η μέση έλάχιστη θερμοκρασία κυμάνθηκε στους 13,2°C, με τις χαμηλότερες θερμοκρασίες να παρατηρούνται τον μήνα Ιανουάριο (μέση έλάχιστη 8,4°C, έλάχιστη -3,7°C). Τα ποσοστά βροχόπτωσης για το 2019 κυμάνθηκαν συνολικά σε 977,9 mm, ενώ η μεγαλύτερη βροχόπτωση σημειώθηκε τον Ιανουάριο με 364,2mm βροχής. Η μέση ταχύτητα του ανέμου κυμάνθηκε στα 2,9km/hr, ενώ η μέγιστη καταγράφηκε τον Οκτώβριο στα 66,0 km/hr. Οι άνεμοι που επικρατούν στην περιοχή είναι κατά κύριο λόγο νοτιοδυτικοί τους καλοκαιρινούς μήνες, ενώ κυρίως βορειοδυτικοί τους χειμερινούς μήνες² (βλέπε Παράρτημα I).



Εικόνα 1. Εικόνα δορυφόρου της Δυτικής Πελοποννήσου και της τοποθεσίας της Αρχαίας Ολυμπίας (πηγή: Google Earth)



Εικόνα 2. Συνοπτικός γεωλογικός χάρτης Δ. Πελοποννήσου (Επεξεργασμένος χάρτης, Καμπέρης 1987)

² Τα στοιχεία συλλέχθηκαν από τον μετεωρολογικό σταθμό Αρχαίας Ολυμπίας, Ν. Ηλείας (metar.gr).

Σύμφωνα με τον γεωλογικό χάρτη της περιοχής της Ηθείας (Εικ. 2), το υπέδαφος του νομού διαιμορρώνεται από την Ιώνια ζώνη, τη ζώνη Θλονού – Πίνδου, τη ζώνη Γαβρόβου Τριπολής, Τριπογονείς γεωλογικούς σχηματισμούς και Τεταρπογονείς αποθέσεις. Οι ζώνες αυτές πριν την Ήλανο περίοδο βρίσκονταν σε μικρό ή μεγαλύτερο βάθος κάτω από την επιφάνεια της θάλασσας. Στην επιφάνεια τους σχηματίστηκαν στρώσεις από κελύφη διαφόρων οργανωμάτων που διακόπτονται από στρώσεις κλαστικού υλικού από την καθίζηση στη λεκάνη αποθέσεων φλύση από τα γεννοντικά βουνά. Νεότερες μετακυνήσεις προκάλεσαν την άνοδο των ζωνών από την επιφάνεια της θάλασσας³. Οι πεδίαδες της Ηθείας και ειδικότερα εκείνη του Αλφειού αποτελούν μεγάλες τεκτονικές τάφρους, οι οποίες με την πάροδο των αιώνων γέμισαν με φροτές ύλες από τα νερά των ποταμών. Οι πλημμύρες των ποταμών Αλφειού και Κλαδέου, καθώς και οι κατολισθήσεις των γειτονικών λόφων εικάζεται ότι συνέβαλαν στην κατάκωση του μεγαλύτερου μέρους του ιερού κατά τα χρόνια της παρακμής του⁴. Συγκεκριμένα ο ποταμός Κλαδέος φαίνεται ότι είχε επιβαρυμένο πλημμυρικό παρελθόν με τρείς πλημμυρικές περιόδους, 1300 έως 400 π.Χ., 20 έως 40 αιώνα μ.Χ. και 70 με 140 αιώνα μ.Χ.⁵ Ωστόσο, πρόσφατες έρευνες θεωρούν πιθανή απίσημη κατάχωση του ιερού μεγάλα παλιρροϊκά κύματα (tsunami) τα οποία εισχώρησαν στην ενδοχώρα μέσω της κοιλάδας του Αλφειού⁶.



Εικόνα 3. Άποψη του αρχαιολογικού χώρου της Ολυμπίας μετά τις πρώτες ανασκαφές. Διακρίνεται το ύψος των επικώνεων πλάι στο μνημείο του εργαστηρίου του Φεδίδια (αρχείο DAI, D-DAI-ATH-Οlympia-0227).

³ Α. Γαλανού, Γ. Δουγάνη, Ν. Καλαμβόκα, Άμβωνας - Παλαιοχρυστινή Βασιλική, Αρχαία Ολυμπία - Μελέτη συντήρησης - Ανακύρσεις υφιστάμενων κονιαμάτων και πρόσσαση νέων συνθέσεων αποκατάσταση, Αθήνα 2017, σ. 4.

⁴ M.D. Higgings, R. Higgins, *A Geological comparison to Greece and the Aegean*, Cornell University Press, Duckworth Publishes, Ithaka NY, London 1996, p. 67.

⁵ I. Φουντούλης, Η. Μαριολάκος, Σ. Μαυρούλης, I. Λαδάς, *Πλημμυρικές περιόδους κατά τους προϊστορικούς και ιστορικούς χρόνους στον ποταμό Κλαδέο - Αρχαία Ολυμπία*, in: G. Migros, G. Stamatis, G. Stourmaras (eds.), *8th International Hydrogeological Congress of Greece 3rd MEM Workshop on Fissured Rocks*, 2008, p. 81.

⁶ A. Vött et al., *Sedimentary burial of ancient Olympia (Peloponnese, Greece) by high-energy flood deposits – the Olympia Tsunami Hypothesis*, Greece 2011.

Από τις περιγραφές των πρώτων περιηγητών στην περιοχή της αρχαίας Ολυμπίας, ξεκινώντας από τον R. Chandler του Αύγουστου του 1766⁷, προκύπτει ότι το μνημείο είχε καλυφθεί ολοκληρωτικά από στρώματα αλλοιωτικών αποθέσεων οι οποίες απομακρυνθήκαν σταδιακά από τις μεταγενέστερες ανασκαφές⁸. (Εικ. 3).

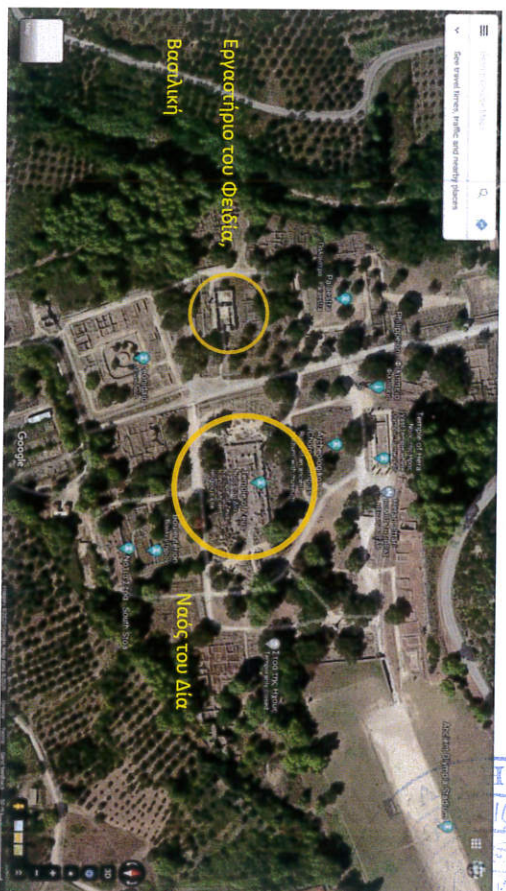
2. Ιστορικά στοιχεία – σημασία του μνημείου

Η Ολυμπία αποτέλεσε το σημαντικότερο θρησκευτικό και αθλητικό κέντρο της αρχαίας Ελλάδας. Το ιερό ήταν αφιερωμένο στον πατέρα των θεών Δία και προς τιμήν του κάθε τέσσερα χρόνια πραγματοποιούνταν οι Ολυμπιακοί αγώνες, ένας πανελλήνιος θεσμός που καθιερώθηκε και έφτασε μέχρι τις μέρες μας.⁹

Το Εργαστήριο του Φειδία βρίσκεται δυτικά της Άλτεως και απέναντι από τον ναό του Δία (Εικ. 4). Σε αυτό ο γλύπτης Φειδίας φέρεται να φιλοτέχνησε το χρυσελεφάντινο άγαλμα του Δία, το οποίο ήταν ένα από τα επτά θαύματα του αρχαίου κόσμου. Το εργαστήριο με διαστάσεις 32,18μ μήκος και 14,50μ πλάτος (όσο ακριβώς και ο σηκός του ναού του Δία) χρονολογείται στο β' μισό του 5ου αιώνα π.Χ., ενώ, σύμφωνα με τον Παυσανία, τα χρόνια που ακολούθισαν ο χώρος άλλαξε χρήση και μετατράπηκε σε χώρο λατρείας. Έχει προσανατολισμό Α – Δ, με είσοδο στην ανατολική πλευρά. Εσωτερικά χωρίζεται σε τρία κλίτη από δύο σειρές κιόνων. Τα βασικά δομικά υλικά του εργαστηρίου ήταν ο κογκιλιατης λιθός και οι αιμές πλινθοί.

Η επόμενη φάση του κτηρίου ήταν κατά τα έτη 435-451 μ.Χ. Πάνω στους ορθοστάτες οικοδομήθηκε η παλαιοχριστιανική βασιλική, η οποία ήταν τρικληπη με ξύλινη στέγη και με προσθήκη ιερού στην ανατολική πλευρά. Οι τοίχοι ήταν κτισμένοι με πλάκες οπτόπλινθων, ενώ το δάπεδο ήταν στρωμένο με μαρμάρινες πλάκες (Εικ. 5). Χαρακτηριστικά είναι τα χαμηλά μαρμάρινα θωράκια που χωρίζουν το ιερό και βρίσκονται στη θέση τους μέχρι και σήμερα (Εικ. 11,13).

Κατά το έτος 1829, μέλη της Γαλλικής Επιστημονικής Αποστολής του Μοριά καθάρισαν τμήμα του μνημείου, ενώ η πλήρης αποκάλυψη και μελέτη του έγινε από το Γερμανικό Αρχαιολογικό Ινστιτούτο κατά την τρίτη περίοδο των ανασκαφών (1951-1966)¹⁰ (Εικ. 3, 5-14).



Εικόνα 4. Εικόνα δορυφόρου της τοποθεσίας του μνημείου του εργαστηρίου του Φειδία (Βασιλίκη) (πηγή: Google Earth)



Εικόνα 5. Το εργαστήριο του Φειδία. Λήψη από νονιδυτικά (Imantosis)

⁹ Πατεράκη Ν.Κ., Η Ολυμπία κατά την αρχαιότητα και κατά του 18ο - 19ο αι., μέσα από τις ταξιδιωτικές αναφορές των ειρηνοταξιανών περιηγητών, Αράδην 18, 2012, σ. 189

¹⁰ http://odysseus.culture.gr/h2/gh251.jsp?obj_id=502

Χαρακτηριστικές όψεις του εργαστηρίου του Φειδία (Βασιλικής)



Εικόνα 6. Νοτιοδυτική όψη, εξωτερικά (DAI Athen)



Εικόνα 7. Βορειοδυτική όψη, εξωτερικά (DAI Athen)



Εικόνα 8. Εγκάρσιος εσωτερικός τοίχος, δυτική όψη (DAI Athen)



Εικόνα 9. Ανατολικός τοίχος, ανατολική όψη (DAI Athen)



Εικόνα 10. Εγκάρσιος εσωτερικός τοίχος, ανατολική όψη (DAI Athen)



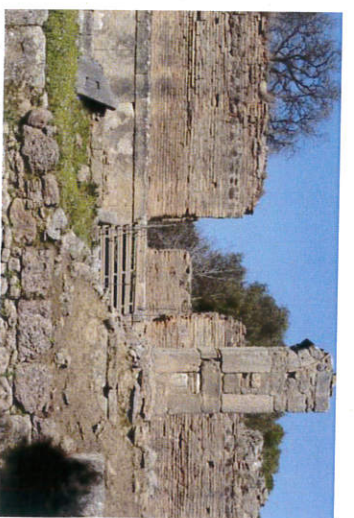
Εικόνα 11. Ανατολικός τοίχος, δυτική όψη (DAI Athen)



Εικόνα 12. Δυτικός τοίχος, ανατολική όψη (DAI Athen)



Εικόνα 13. Γενική όψη εσωτερικού βασιλικής (DAI Athen)



Εικόνα 14. Τμήμα νότιου τοίχου, νότια όψη (DAI Athen)



3. Υλικά κατασκευής

Η πλειονότητα των πετρώματων από τα οποία αποτελούνται τα περισσότερα μνημεία του αρχαιολογικού χώρου της αρχαίας Ολυμπίας προέρχονται από ιερατογενή πετρώματα και μόνο ένα είναι μεταμορφωσιγενές.

Το αρχαίο λατομείο στη γετονική περιοχή του Λούβρου ήταν αυτό που εξασφάλισε δομικό υλικό για το χτίσιμο των μνημείων της αρχαίας Ολυμπίας. Το λατομείο βρίσκεται σε απόσταση 8 χλμ από τον αρχαιολογικό χώρο και τα κυρίως εξορυχθέντα υλικά ήταν ο κορκυλιάτης λίθος και ο φανεμίτης, τα οποία χρησιμοποιήθηκαν για την οικοδόμηση των μνημείων της Άλτεως¹¹.

Συγκεκριμένα έχουν αναγνωριστεί οχτώ είδη λίθων: ο κορκυλιάτης, ο φανεμίτης ασβεστόλιθος, ο βιομικριτικός ασβεστόλιθος, ο φαίνος βιομικριτικός ασβεστόλιθος, ο ασβεστοπαγής λίθος, το μάρμαρο και ο κροκαλοπαγής λίθος¹².

- γ. Κονυλιάτης λίθος (κυρίως ορθοστάτες). Χαρακτηρίζεται από μεγάλη συγκέντρωση απολιθωμάτων (κυρίως κονυλιών καθώς και μικρότερων απολιθωμάτων στο μεγεθος της άμμου) και πολύ υψηλό πορώδες. Αναλύσεις έδειξαν ότι αποτελείται κυρίως από χαλαζία, αλβίτη, και αργιλικά ορυκτά όπως ο μιοντιοριλονίτης και ο σαπινιάτης¹³ (Εικ. 16).
- ν. Φασοκίτρινος φανεμίτης (κυρίως στον εγκάριο τοίχο και στους στυλοβάτες στα κλίπη) (Εικ. 17). Χαρακτηρίζεται από κόκκους μεσαίου μεγέθους και αποτελείται κυρίως από λιθοκάλαστες (από πυριτόλιθους, ακτινόζωα, ασβεστόλιθους και χαλαζίτες) και κρυσταλλοκάλαστες (από κρυσταλλών χαλαζία, αστρίων και χλωρίτη) ίδιου μεγέθους (0,5mm). Η ορυκτή κόλλα αποτελείται από μεσαίου μεγέθους κρυστάλλους ασβεστητηρίου. Παρουσιάζει υψηλό και ανομοιογενές πορώδες που οφείλεται και στη φυσική διάβρωση του λίθου (Εικ. 16).
- δ. Πλάκες οπτής αργιλίου (οπτόπλινθοι, κυρίως στην αναδομή των τοίχων) (Εικ. 18).
- ε. Ασβεστοκονιάματα υψηλής αντοχής και συνοχής (κονιάματα δομής και επιχρισμάτων στους τοίχους με οπτόπλινθους) (Εικ. 19).

Τα κύρια υλικά κατασκευής του μνημείου του εργαστηρίου του Φειδία (Βασιλική) είναι τα εξής:

α. Μάρμαρο (θυράκια ιερού, διάσπαρτα αρχιτεκτονικά μέλη όπως κίονες, κιονόκρανα και βάσεις κιόνων) (Εικ. 15).

α. Φαίνος ασβεστόλιθος, σκληρός με φλεβώδεις (πλάκες δαπέδου και διάσπαρτα αρχιτεκτονικά μέλη) (Εικ. 15).

¹¹ Γ. Κόκκορος-Αλεξηρά et al., *Corpus Archaicu Latoeum*, Λατομεία του ελλαδικού χώρου από τους πρωτοτορικούς έως τους μεσαιωνικούς χρόνους. Πανεπιστήμιο Αθηνών, Φιλοσοφική Σχολή, Τομέας Αρχαιολογίας και Ιστορίας της Τέχνης Αθηνά 2014, σ. 168.

¹² M. Varti-Matarangas, et al., *Lithofacies determination, origin and decay of the building stones in the monuments of the ancient Olympia area*, London 1995, pp. 297-299.

¹³ Varti-Matarangas M., et al., *Lithofacies determination, origin and decay of the building stones in the monuments of the ancient Olympia area*, London 1995, pp. 297-299.



Εικόνα 15. Μάρμαρο και φαούς ασβεστόλιθος (DAI Athen)



Εικόνα 16. Κονχολιάτης λίθος (DAI Athen)



Εικόνα 17. Φαούκιτρης ψαμμίτης (DAI Athen)



Εικόνα 18. Οπτή άργιλος και σενάρι από λίθους (DAI Athen)



Εικόνα 19. Ασβεστοκονιάματα (DAI Athen)



Εικόνα 20. Πηλοκονιάματα (DAI Athen)

4. Κατάσταση διατήρησης

Τα αίτια φθοράς των δομικών υλικών των μνημείων οφείλονται πάσο σε έξιγενες δύο και σε ενδογενείς παράγοντες. Συγκεκριμένα για τα δομικά υλικά του εργαστηρίου του Φειδία, το μεγάλο πορώδες των λίθων, η μη ομοιόμορφη κατανομή των ορυκτών και η παρουσία αργιλικών προσμίξεων μειώνουν τις αντοχές τους. Οι βασικοί εξωγενείς παράγοντες φθοράς στον χώρο της αρχαίας Ολυμπίας είναι η δράση του παγετού και της βροχής, η υψηλή υγρασία με συνέπεια πηγαδόπτυξη φυτών και μικροβιλωρίδας, και η δράση των διαλυτών αλάτων¹⁴.

21.

○ Απώλεια μάζας τοιχοποιίας

Σε αρκετά σημεία της τοιχοποιίας με πλάκες οππότιλνθων παρατηρείται απώλεια υλικού με αποτέλεσμα τη δημιουργία χασμάτων, που υποβαθμίζουν αισθητικά το μνημείο, δημιουργώντας τοπικές περιοχές επισφαλούς έδρασης και ευνοώντας την ανάπτυξη όχλωρίδας. Σε ορισμένες περιπτώσεις, όπως στον δυτικό τοίχο, δυτική όψη, η φθορά αυτή παρατηρείται ως μία ζώη περίπου 2,5 μέτρα από τη βάση του μνημείου. Τα αίτια αυτής της φθοράς δεν είναι ξεκάθαρα, αλλά πιθανώς να οφείλονται στην κυκλοφορία του νερού της βροχής και τη δράση των διαλυτών αλάτων. Το νερό εισέρχεται στην τοιχοποιία από τη φθαρμένη επίστεψη και εξαπιζεται στην περιοχή της ζώνης αυτής με αποτέλεσμα την κρυστάλλωση και διόγκωση των αλάτων και τη φθορά της τοιχοποιίας. Μια άλλη εκδοκή είναι η φθορά να υπήρχε ήδη από την εποχή πριν από την έναρξη των ανασκαφών, όταν το μνημείο ήταν καλυμμένο με φερτά υλικά. Η στάθμη του χώματος πιθανόν να βρισκόταν στη ζώη φθοράς που παρατηρείται σήμερα (Εικ. 22). Φθορές που παρατηρούνται σε μεμονωμένους οππότιλνθους πιθανόν να οφείλονται στη χαμηλή ποιότητα του υλικού, που προκαλείται για παράδειγμα από ασφάλιμα κατά τη διάρκεια της

αυξάνοντας τον δύκο τους και προκαλώντας τάσεις στο εσωτερικό των λίθων. Η διαδικασία αυτή επαναλαμβάνεται, με αποτέλεσμα την απολέπιση και την εμφάνιση εξανθημάτων ή κυψελοειδούς φθοράς. Οι ενδογενείς παράγοντες φθοράς είναι το υψηλό πορώδες των λίθων καθώς και η περιεκτικότητα σε αργιλικές προσμίξεις (Εικ.



○ Αποστάθμαση δομικού υλικού

Παρατηρείται κυρίως στους ορθοστάτες και τους τοιχοβάτες από κογκυλάτη λίθο, εσωτερικά και εξωτερικά, με απώλεια της αρχικής επιφάνειας και στρογγυλοποίηση των ακμών. Εξωγενείς παράγοντες αυτής της φθοράς από την πολυετή έκθεση του μνημείου στο περιβάλλον μετά την αποκάλυψη του αποτελούν η δράση του νερού της βροχής και η ανερχόμενη υγρασία από το έσαφος σε αναδυσμό με την κρυστάλλωση των διαλυτών αλάτων. Τα άλατα εισχωρούν στους λίθους οι οποίοι έχουν μεγάλο πορώδες και σε συνδυασμό με τους κύκλους ύγρανσης – ξήρανσης, κρυσταλλοποιούνται

¹⁴ Varti-Matarangas, M., Beloyannis, N., Mitsaki-Häfner, V., Katsikis, J., Pantelias, E., "Lithofacies determination, origin and decay of the building stones in the monuments of the ancient Olympia area", London 1995

○ Ρωγμές - Θραύσεις

Δεν παρατηρούνται σε μεγάλη έκταση. Οφελονται κυρίως σε ανισότropes συμπεριφορές της θεμελίωσης που προκαλούνται μηχανικές καταπονήσεις (θιγητικές τάσεις) σε τημένα της κατασκευής. Μηχανικές βλάβες προκαλούνται και από τη δράση του ρίζικου αυστηρήματος των φυτών. Μεγαλύτερη παρουσία ρωγμών παρατηρείται στην άνω παρεία των τοίχων, όπου υπάρχει έντονη ανάπτυξη χλωρίδας και αυστηρεύεται υδάτων. Επιπλέον στην περιοχή αυτή οι έντονες ρηγματώσεις οφελονται στη δράση του παγετού κατά τους χειμερινούς μήνες. Σε ελάχιστα σημεία παρατηρείται θερμική θραύση στην περιοχή των ορθοιστατών, πιθανότατα λόγω πυρκαγιάς της στέγης του μνημείου κατά την αρχαιότητα (Εικ. 23).

○ Βιολογικές επικαθήσεις

Έκτεταμένη είναι η επιφανειακή ανάπτυξη φυτικών μικροοργανισμών, σημειώνονται βρυσόφυτα, λειχήνες κ.ά. Η φθορά αυτή οφείλεται στα υψηλά ποσοστά υγρασίας του αρχαιολογικού χώρου λόγω νεγκίδασης με τους ποταμούς Αλφειό και Κλαδέο και λόγω των υψηλών ποσοστών βροχόπτωσης στην περιοχή. Η συγκεκριμένη φθορά μπορεί να προκαλέσει μικρής έκτασης επιφανειακή αποδόμηση της αρχικής επιφάνειας των δομικών υλικών και αισθητική υποβάθμιση του μνημείου (Εικ. 24).

○ Δράση χλωρίδας – ανεπθύμητη βλάστηση

Παρατηρείται έντονη ανάπτυξη μικρών φυτών και ζιζανίων ιδιαίτερα στις οριζόντιες επιφάνειες, για παράδειγμα στην επίστεψη των τοίχων. Οι ρίζες των μεγαλύτερων φυτών, όπως μικρά δέντρα, ασκούν έντονες πίεσεις στην κατασκευή, με αποτέλεσμα του κινδυνού κατάρρευσης των δομικών υλικών. Επιπλέον οι ρίζες εκκρίνουν οξέα που προκαλούν διαλυτικά φαινόμενα στους λίθους και στα δομικά υλικά. Με τον τρόπο αυτό οι ρίζες εισχωρούν περαιτέρω στη μάζα του λίθου προκαλώντας μηχανικές καταπονήσεις και θραύσεις. Στην περιοχή της επίστεψης η ανάπτυξη της βλάστησης

είναι ιδιαίτερα έντονη, κατακερματίζοντας το κονίαμα που έχει τοποθετηθεί σε πλαϊσιό επέμβαση συντήρησης καθώς και τα υλικά της τοιχοποιίας στη ζώνη κάτω από αυτή (Εικ. 25, 26).

○ Απώλεια αυθεντικού κονιάματος αρμολόγηση – δόμηση

Στους αρμούς της οποτολινθοδομής παρατηρείται σε αρκετά σημεία απώλεια του κονιάματος δόμησης, η οποία προκαλεί χάσματα και θέτει σε κίνδυνο τα ανώτερα τημένα. Η φθορά αυτή οφείλεται σε πολλούς παράγοντες, όπως για παράδειγμα στην κίνηση των υδάτων, στη δράση των διαλυτών αλάτων, στη βλάστηση καθώς και στις βιολογικές επικαθήσεις (Εικ. 27).

○ Εποχορροπία – παρρημόρφωση – μετακινήσεις δομικών στοιχείων

Παρατηρείται σε λίγα σημεία, όπως στην παραστάδα της νότιας και βόρειας θύρας του εγκάρσιου εσωτερικού τοίχου, σε πεσσό στο ιερό, καθώς και στην κορυφή του τόξου του παραθύρου στον νότιο τοίχο, δημιουργώντας επισφαλή σημεία και προβλήματα στατικότητας. Άτια αυτών των φθορών είναι η έκθεση των θεμελίων στα περισσότερα σημεία του μνημείου λόγω παλαιοτερων ανασκαφών, η καθίζηση της στάθμης του εδάφους, καθώς και η σεσιμική δραστηριότητα της περιοχής (Εικ. 28).

○ Προηγούμενες επεμβάσεις

Σε αρκετά σημεία παρατηρούνται πλαϊσιέρες επεμβάσεις συντήρησης και στερέωσης τυμπάτων του μνημείου. Πιο συγκριμένα παρατηρείται εκτεταμένη σφράγιση της επίστεψης των τοίχων με ισχυρό τομεντοκονίαμα. Η επέμβαση αυτή είχε σκοπό την αποτροπή εισχώρησης των υδάτων της βροχής στο εσωτερικό του τοίχου με τα αρητικά αποτελέσματα που ακολουθούν, καθώς, επίσης και την ανάσχεση της ανάπτυξης της βλάστησης. Το κονίαμα αυτό έχει εδώ και αρκετά χρόνια κατακερματιστεί από την πολυετή έκθεση στις συνθήκες του περιβάλλοντος (παγετός, δράση φυτών,



νερού), με αποτέλεσμα να παρουσιάζει όσοχην εικόνα και να μην προστατεύει πλέον το μνημείο. Επηλέον τα ταμευτοκονάματα είναι πηγή θεικών αλάτων, τα οποία παρασύρονται με την κυκλοφορία του νερού, με αποτέλεσμα την επιδημία συσσώρευση αλάτων στην επιφάνεια της τοιχοποίιας (Εικ. 33). Ισχυρά ταμευτοκονάματα έχουν χρησιμοποιηθεί και για τη συμπλήρωση των μαρμάρινων θυρακίων κατά τις επειβάσεις του 1964. Τα κονιάματα βρίσκονται σε καλή κατάσταση διατήρησης (Εικ. 31). Σχεδόν στο σύνολο των επιχειρήσεων των τοίχων που ανδονταν παρατηρούνται παλαιότερες επειράσεις στεφρέωσης, όπως περιμετρικά στεφανώματα και ενέματα. Οι περισσότερες επειβάσεις είναι σε καλή κατάσταση (Εικ. 30). Διασυχώς δεν υπάρχουν στοιχεία για τη χρονολόγηση των επειβάσεων αυτών.

Για τη στήριξη του καταφλού της νότιας θύρας του εγκάρσιου εσωτερικού τοίχου έχουν τοποθετηθεί σε παλαιότερη σαστική επέιδηση μικρά υποστυλώματα με μικρά σαληγωτά στοιχεία (ιπουστέλαι) (Εικ. 31). Αντίστοχα στην κεντρική θύρα του εγκάρσιου τοίχου έχει τοποθετηθεί μεταλλική ανοξείδωτη κατασκευή για τη στήριξη του συναφλού, που παρουσιάζει κάθετη ριγήν στο κέντρο του (Εικ. 35).

Κατά το έτος 2018 πραγματοποιήθηκε ανάταξη και συντήρηση του άμβωνα στο εσωτερικό του μνημείου από την εταιρία Λίθου Συντήρησις (Εικ. 34).

○ Συσσώρευση υδάτων στο εσωτερικό

Κατά τους χειμερινούς μήνες παρατηρείται έντονη συσσώρευση υδάτων της βροχής, ιδιαίτερα στο κέντρο του μνημείου. Συνέπεια αυτού είναι η συνεχής ροή υδάτων μέσω της τριχοειδούς αναρρίχησης από το έδαφος και τη διάκυψη αλάτων προς τους λίθους και την τοιχοποίια με τα αναφερθέντα προβλήματα (Εικ. 29).





Εικόνα 21. Αποδέθρωση δομικού υλικού (DAI Athens)



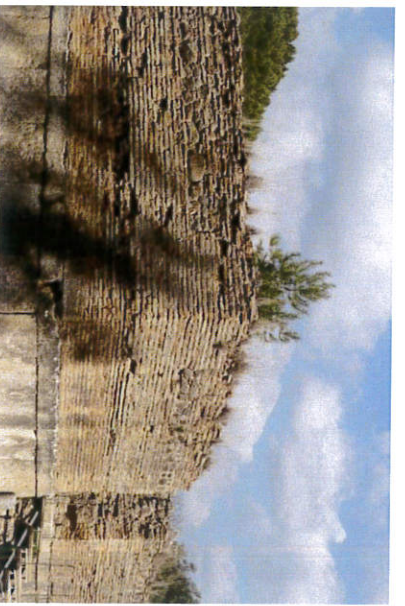
Εικόνα 22. Απώλεια μάζας τουχοποιίας (DAI Athens)



Εικόνα 24. Βιολογικές επικαθίσεις (DAI Athens)



Εικόνα 25. Δράση χλωρίδας – ανεπιθύμητη βλάστηση (DAI Athens)



Εικόνα 26. Δράση χλωρίδας – ανεπιθύμητη βλάστηση (DAI Athens)



Εικόνα 23. Ρωγμές – Θραύσεις (DAI Athens)



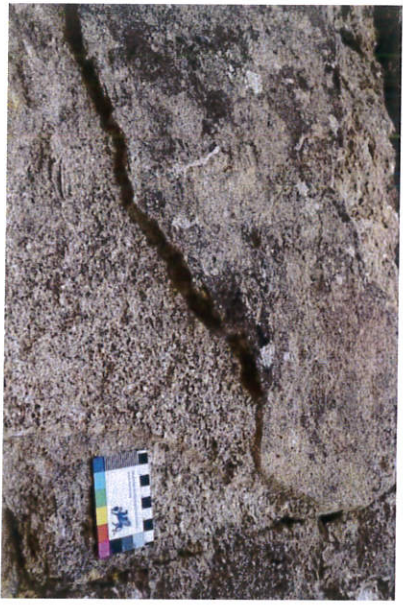
Εικόνα 27. Απώλεια συθεντικού κονιάματος αριμολόγησης – δόμησης (DAI Athen)



Εικόνα 28 Ετοιμορροπία, μετακίνηση δομικού στοιχείου (DAI Athen)



Εικόνα 29. Συσσώρευση υδάτων βροχής στο εσωτερικό του μνημείου (DAI Athen)



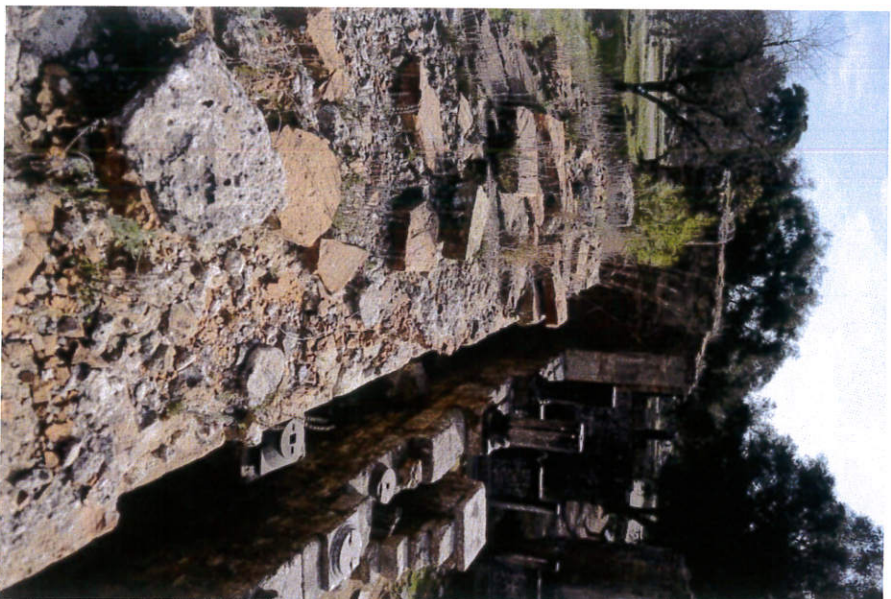
Εικόνα 30. Προηγούμενες επεμβάσεις. Στεφάνωμα σε ευποθέτης επιχρύσιο (DAI Athen)



Εικόνα 31. Προηγούμενες επεμβάσεις. Προσωρινή υποστήλωση με σωληνωτά στοιχεία (μπουτέλια) και συμπλήρωση θωρακίου με τομεντοκονία (DAI Athens).



Εικόνα 32. Προηγούμενες επεμβάσεις. Συγκράτηση με κονίαμα ρυμαϊκής αβάθους δεξαμενής στο ιερό (DAI Athen)



Εικόνα 33. Προηγούμενες επεμβάσεις. Τομευτοκονίαμα στην επιστρεψη του μνημείου το οποίο έχει αυτοχότει (DAI Athens).



Εικόνα 34. Προηγούμενες επεμβάσεις. Αποκατάσταση άμβωνα (DAI Athens)



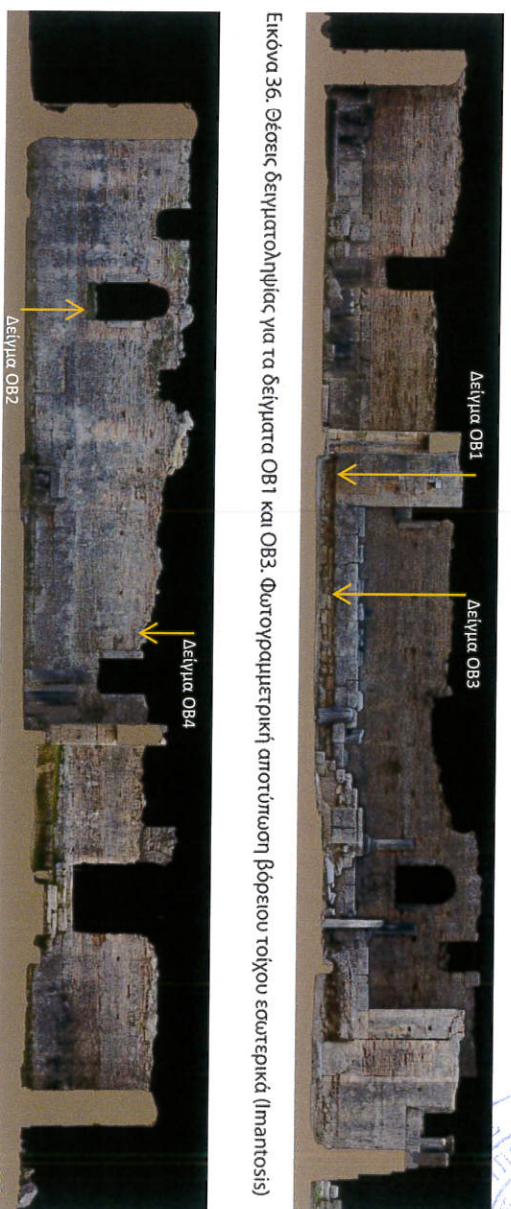
Εικόνα 35. Προηγούμενες επεμβάσεις. Τοποθέτηση ανοξείδωτου υποστυλώματος ανωφλίου (DAI Athens)

5. Μελέτη κονιαμάτων δόμησης – εργαστηριακοί έλεγχοι

περιληπτικά στον πίνακα 1, ενώ οι συνολικές μελέτες παρουσιάζονται στα παραρτήματα II και III.

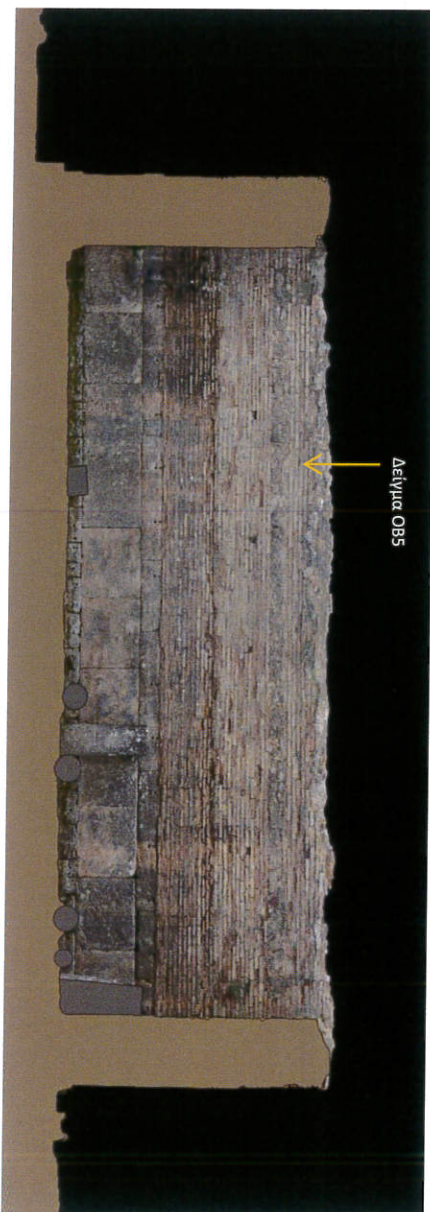
Για τη μελέτη των κονιαμάτων δόμησης του μημείου συλλέχθηκαν, αφού εξασφαλίστηκαν οι σχετικές σδειες από το ΥΠΠΟ¹⁵, 5 δείγματα από διαφορετικές περιοχές και ύψη, καλύπτοντας τις βασικές κατηγορίες κονιαμάτων που συναντάμε. Η πρώτη δειγματοληψία πραγματοποιήθηκε από την εταιρία Λίθου Συντήρησης το 2018, ενώ για την καλύτερη κατανόηση των κονιαμάτων δόμησης κρίθηκε αναγκαία και δεύτερη δειγματοληψία από τον συντέλεντα του Νοέμβριο 2019. Ο κύκλος εργαστηριακών ελέγχων που κρίθηκε αναγκαίος για τα κονιάματα περιέλαβε: τη μικροσκοπική και ορυκτολογική ανάλυση (XRD), τη μέτρηση πορώδους, τον υγρό διαχωρισμό υλικών κατά ICCROM, την κοκκομετρική ανάλυση, την ανήγευση αλάτων, το φανόμενο ειδικό βάρος (ΦΕΒ), τον βαθμό υδατοπορροφητικότητας κατά μάζα %, τη διερεύνηση διαλυτών αλάτων και τη μέτρηση εφελκυσμού. Τον έλεγχο των κονιαμάτων και τον προσδιορισμό νέων συνθέσεων πραγματοποίησε η εταιρεία Λίθου Συντήρησης ΕΠΕ. Τα αποτελέσματα παρουσιάζονται

Εικόνα 37. Θέσεις δειγματοληψίας για τα δείγματα OB2 και OB4. Φωτογραφιμετρική αποτύπωση υποτού τοίχου εσωτερικά (Imantosis)



¹⁵ Αρ. πρωτ. ΥΠΠΟΔ/ΔΑΜΠΕ/ΔΕΤΥΜΕΑ/ΠΤΕΔ/324012/33415/494/234/

17-7-2018 και Αρ. πρωτ. ΥΠΠΟΔ/ΔΑΜΠΕ/ΔΕΤΥΜΕΑ/ΠΤΕΔ/575340/6032/1234/
15/9/29-10-2019.



Εικόνα 38. Θέσεις δειγματοληψίας για τα δείγματα OB2 και OB4. Φωτογραφιμετρική αποτύπωση δυτικού τοίχου εσωτερικά (Imantosis)



Εικόνα 39. Δείγμα 1. OB1 (DAI Athen)



Εικόνα 40. Δείγμα 2. OB2 (DAI Athen)



Εικόνα 41. Δείγμα 3. OB3 (DAI Athen)



Εικόνα 42. Δείγμα 4. OB4 (DAI Athen)



Εικόνα 43. Δείγμα 5. OB5 (DAI Athen)

Πίνακας 1. Αποτελέσματα

Κωδικός Δείγματος	Περιγραφή	Πορώδες		Βαθμός υδατίας	Κοκκομετρία	Αναλ/α Σ:Α	Φαινόμενο Ειδικό Βάρος (ΦΕΒ) gr/cm ³	Μηχανικές πιναγρές εφελκυσμού		
		Ολικό %	μικρ. πόρου Ø(μμ)		Εύρος Ø Μέτρος κόκκος			Ερεδικής (kPa)	Θλιψη 28/90ημ (MPa)	Κάμψη 28/90ημ (MPa)
OB1	Κούτια αρραβώνιας. Συνεπές υπότετονο κονικότατη περιγέλη ¹ λεπτόκοκκο ψήρινα σέρανη	25,32	0,52	18,49	75μm-2mm 0,25 mm	2,3	1,57	111	-	-
OB2	Κούτια αρραβής, οπτοπλαθύρης. Σύνεπες σεβαστοκονική με λεπτόκοκκο αδρανή και βόλταλα Ø 1-2εκ.	28,49	0,19	21,38	75μm-16mm 0,6 mm	3:2	1,56	339	-	-
OB3	Κούτια αρραβής/ κορικούρημη	-	-	-	75μm - 4,75mm 0,18 mm		1,34			
OB4	Κούτια αρραβής. Σύνεπες πρόσωπο σφυρολόγημα με φράζες. (εκάδ πατήμα)	17,72	0,45	15,16	75μm-2mm	1,8:1	1,74	151,01		
OB5	Κούτια αρραβής, οπτοπλαθύρης. σεβαστοκονική με λεπτόκοκκο αδρανή και βόλταλα Ø 1-2εκ. ψήρες στριβούς τυπωμάτων	24,21	0,54	18,15	75μm-4,75mm	2,5:1	1,71	284,89		



5.1. Συμπεράσματα

ΟΒ1:

Εξαρετικά συνεκτικό υπόλευκο ασβεστοκονίαμα, με μεγάλη ποσότητα μεσόκοκκων γκρίζων, υπόλευκων και λίγων καστανέρυθρων αδρανών, καθώς και μικρά συσσωματώματα ασβέστη (\varnothing 2-3mm). Εύρος μεγέθους κόκκων αδρανών \varnothing 75μm – 2mm με μέσο μέγεθος κόκκου \varnothing 0,25mm. Αναλογία συνδετικού προς αδρανές 2:3 κατά βάρος, φαινόμενο ειδικό βάρος 1,57 γρ/εκ³, υδαταπορροφητικότητα κατά μάζα 18,49%, αντοχή σε εφελκυσμό 0,11MPa, το ολικό πορώδες είναι 25,32% με μέσο μέγεθος πόρου \varnothing 0,52μm.

ΟΒ2:

Συνεκτικό υπόλευκο ασβεστοκονίαμα με μεγάλου εύρους κοκκομετρίας έγκριμα αδρανή (γκρίζας λευκής και καστανέρυθρης απόχρωσης), αρκετά μεγάλα βότσαλα \varnothing 1-2 cm και μικρά συσσωματώματα ασβέστη. Εύρος μεγέθους κόκκων των αδρανών μεταξύ \varnothing 75μm – 9,5 mm με μέσο μέγεθος κόκκου \varnothing 0,6mm. Αναλογία συνδετικού προς αδρανές 3:2 κατά βάρος. Φαινόμενο ειδικό βάρος 1,57 γρ/εκ³, υδαταπορροφητικότητα κατά μάζα 21,38 %, αντοχή σε εφελκυσμό 0,339 MPa, ολικό πορώδες 28,49 % και μέσο μέγεθος πόρου \varnothing 0,19μm.

ΟΒ3:

Χαμηλής συνεκτικότητας εδαφικό υλικό καστανέρυθρης απόχρωσης, με ελάχιστα σκουρόχρωμα αδρανή. Εύρος μεγέθους κόκκων των αδρανών μεταξύ \varnothing 75μm – 4,75 mm με μέσο μέγεθος κόκκου \varnothing 0,18mm. Φαινόμενο ειδικό βάρος 1,34 γρ/εκ³,

υδαταπορροφητικότητα κατά μάζα 21,38 %, αντοχή σε εφελκυσμό \varnothing 0,339 μm, πόρος πορώδες 28,49 % και μέσο μέγεθος πόρου \varnothing 0,19μm¹⁶.

ΟΒ4:

Συνεκτικό υπόλευκο κονίαμα με λεπτόκοκκα αποστρογγυλεμένα αδρανή καστανής κυρίων απόχρωσης και μικρά συσσωματώματα ασβέστη με λόγο συνδετικού προς αδρανές 2 και 2,5:1 κατά βάρος. Το εύρος των κόκκων είναι \varnothing 75μm-2 mm και 4,75mm μεσητ \varnothing κόκκου 200μm. Φαινόμενο ειδικό βάρος (Φ.Ε.β.) 1,74 γρ/εκ³ και βαθμός υδαταπορροφητικότητας 15% κ. μ. Το ολικό πορώδες μετρήθηκε στα 17,72% με μέσητ \varnothing πόρου 0,45μm, ενώ η εφελκυστική αντοχή μετρήθηκε στα 151,01kPa.

ΟΒ5:

Συνεκτικό υπόλευκο κονίαμα με λεπτόκοκκα αποστρογγυλεμένα αδρανή καστανής κυρίων απόχρωσης και μικρά συσσωματώματα ασβέστη με λόγο συνδετικού προς αδρανές 2 και 2,5:1 κατά βάρος. Περιέχει επιπλέον και μικρή ποσότητα μεσόκοκκων αδρανών. Το εύρος των κόκκων είναι \varnothing 75μm-2 και 4,75mm με μέση \varnothing κόκκου 200μm. Φαινόμενο ειδικό βάρος 1,71 γρ/εκ³ και βαθμός υδαταπορροφητικότητας 18% κ. μ. Το ολικό πορώδες μετρήθηκε στα 24,21% με μέση \varnothing πόρου 0,54 μm, ενώ η εφελκυστική αντοχή μετρήθηκε στα 284,89 kPa¹⁷.



¹⁶ Α. Γαλανού, Γ. Δογάνη, Κ. Ιεσσάι, Παλαιοχριστιανική Βασιλική Αρχαία Ολυμπία - Μελέτη υφιστάμενων κονιμάτων και πρόταση νέων συνθέσεων κονιμάτων συντήρησης. Αθήνα, Δεκεμβρίος 2018

¹⁷ Ι. Δογάνη, Ν. Καλαμβόκα, Α. Γαλανού, Παλαιοχριστιανική Βασιλική Αρχαία Ολυμπία - Μελέτη αιθεντικών δομικών υλικών και σχεδιασμός νέων συνθέσεων κονιμάτων συντήρησης. Αθήνα, Ιούλιος 2020

5.2 Προτεινόμενες νέες συνθέσεις κονιαμάτων

Νέες συνθέσεις κονιαμάτων
Πίνακας 2.

Κωδ	Σύνθεση	% κ.β	Σ/Α	Νερό ΝΙΣ
ΚΟΝΙΑΜΑΤΑ ΔΩΜΗΣ - ΣΦΡΑΓΙΔΙΣΗΣ				
A12ν	Άμιος ποταμού 0-2 Χαλαζιακή άμιος 0,4-0,8 γανώδης Χαλαζιακή άμιος 0,1-0,3 κίτρινη Υδραυλική άσβεστος NHL 5	43,5 12,75 18,75 25	1:3	0,49
AMY2XB	Άμιος ποταμού 0-2 Βότσαλο Ολυμπίας Άμιος ποταμού 0-2 Ψηρίδα ποταμού 4-8 Ρυάκι γανώδες 2-5mm Χαλαζιακή άμιος 0,3-1,2 λευκή Κεραμιδένευρο 0-2 Υδραυλική άσβεστος NHL 5 (Για το θυσιαζόμενο κονίαμα για την προστασία της επιστρεψής θα χρησιμοποιηθεί υδραυλική άσβεστος NHL 3,5)	3,75 34,5 7,5 3,75 3,75 18 7,5 25	1:3	0,52
ΣΠ3, 1β	Πχρα έλλιτας 2%Σ Όμπρα ψηλενη 0,5%Σ Χαλαζιακή άμιος 0,3-1,2 Άμιος ποταμού 0-2 Ψηρίδα μαύρη 2-4mm Ψηρίδα μαύρη 4-6mm Ρυάκι γανώδες 2-5mm Δ Πηλός Ηφαστειακή γη <75μm Υδραυλική άσβεστος Socil NHL 5 Χαλαζιακή άμιος 0,1-0,3 κίτρινη Υδραυλική άσβεστος Socil NHL 5	17 33 7 7 3 19 4 10 70	1:2 0,47	
Ε1.2	Υδραυλική άσβεστος NHL 5 Ηφαστειακή γη <75μm Glenium 11 1% αυδεστικού κ.β.	65 35 1:8:1 0,65		
ΕΝΕΜΑ²⁰				

¹⁸ Α. Γαλανού, Γ. Δογάνη, Κ. Ιερασαί, Παλαιοχριστιανική Βασιλική Αρχαία Ολυμπία - Μελέτη υφιστάμενων κονιαμάτων και πρόσταση νέων συνθέσεων κονιαμάτων συντήρησης. Αθήνα, Δεκέμβριος 2018

¹⁹ I. Δογάνη, N. Καλαμόβοκα, A. Γαλανού, Παλαιοχριστιανική Βασιλική Αρχαία Ολυμπία - Μελέτη αυθεντικών δομικών υλικών και σηρίδιασμένων συνθέσεων κονιαμάτων συντήρησης. Αθήνα, Ιούλιος 2020

²⁰ Η σύνθεση αυτή έχει χρησιμοποιηθεί επιτυχώς στην αποκατάσταση της Νότιας Νάκης ενότητας στο Καλοπόδι. I. Δογάνη, N. Καλαμόβοκα, A. Γαλανού. Αποκατάσταση Νότιας Νάκης Ενότητας Καλοπόδι Φθιώτιδας, Μελέτη Προστασίας - Τεκμηρίωση περιβαλλοντικών συνθηκών, έξιχοι δομικών υλικών διερεύνηση συνθέσεων αποκατάστασης και μεθοδολογία εφαρμογής. Αθήνα, 2017.

6. Προτάσεις συντήρησης

Εξυγίανση και προστασία της επίστεψης

Προτείνεται η προσεκτική αφαίρεση των ζιζανίων, των μεγαλύτερων φυτών που έχουν αναπτυχθεί στην επίστεψη των τοίχων καθώς και μέρους του χώματος που έχει συσσωρευτεί στους αρμούς. Κατά περίπτωση σε αρμούς με μικρό διαγόμα προτείνεται η χρήση πλεκτρικής σκούπας βαρέως τύπου για την καλύτερη απομάκρυνση των φερτών υλικών και του χώματος. Τα φυτά, όπου είναι εφικτό και όχι επικίνδυνο για περαιτέρω φθορά, προτείνεται να απομακρυνθούν με τη ρίζα τους για την αποφυγή της εκ νέου ανάπτυξής τους.

Παράλληλα προτείνεται η προσεκτική αφαίρεση των ταινευτοκονιαμάτων της παλαιότερης επέμβασης με μηχανικά μέσα και η κατ' επιλογή απομάκρυνση των ιδιαίτερα κατακεριατισμένων κεραμικών πλακών της οποτοπλινθοδομής.

Για την αντικατάσταση των κατακεριατισμένων κεραμικών πλακών και την προστασία από τη φθορά των υποκέμενων στοιχείων της οποτοπλινθοδομής προτείνεται η χρήση νέων κεραμικών πλακών, οι οποίες θα έχουν τις ίδιες διαστάσεις με τις αρχαίες. Οι νέες πλάκες θα χρησιμοποιηθούν μόνο στα σημεία όπου προϋπήρχαν πλάκες (όχι στην περιοχή του λίθινου σενάριο). Για τη δόμηση και την αρμολόγηση στην περιοχή αυτή προτείνεται η χρήση του κονιάματος **A12v**. Η αρμολόγηση θα γίνεται με περιφέρεια κενθαμεταδος (πλησίστε)–ζελές θέρμανσης–στρατηγικής πλησίστες–επέμβασης–ποσού κάλυψης–εξαγόνων–όλο–το–μήκος–κε–πλάτος–της–επιστρεψης–μιας–και–επαργχειας–τα–κονιάμετα–σε μεμβράνη–ποσόντης–επερχόμενης–σε–σύντομο–χρονικό–διάστημα, με–αποτέλεσμα–τα προβλήματα–που–προσαναφέρθηκαν. Επιπλέον, κατά την εφαρμογή της πρότασης για σφραγίδων–σταγνωμένης–του–κενθαμεταδος–καθίσκες–και–στα–κατάλληλης–μιακρές–κοίτες

μέτα–την–απορροή–του–νερού–της–βροχής–και–την–εποφυγή–συσσειρευσης–μεγάλων
περιουσιακών–υδάτων–επίστεψη.

Για την προστασία της επίστεψης προτείνεται κάλυψη όλων των ορίζοντων επιφανειών των πλινθοδομών με σωστικό προστατευτικό κονίαμα (θυσιαζόμενο κονίαμα) με την σύνθεση που παρουσιάζεται στον πίνακα ²¹. Η επέμβαση αυτή θα δράσει προστατευτικά στα υποκείμενα υλικά του μνημείου ενώ χαρακτηρίζεται αντιστρέψιμη. Το επιθυμητό πάχος του κονιάματος κάλυψης προτείνεται να μην ξεπερνάει τα 7-8 εκ. στο κέντρο, ενώ θα μειώνεται αρκετά κοντά στα όρια των τοίχων. Με τον τρόπο αυτό επιτυγχάνεται η κατάλληλη ρήση για την απομάκρυνση των νερών της βροχής και της υγρασίας, αποφεύγοντας έτσι την εισχώρηση στην μάζα των τοίχων. Στα σημεία όπου υπάρχουν απότομες εξόρσεις των δομικών υλικών, η τοποθέτηση του κονιάματος προτείνεται να γίνει περιμετρικά, χωρίς να αλλοιωθεί η μορφή των δομικών στοιχείων. Προτείνεται επίσης να εξεταστεί η προσθήκη αδιαβροχοποιητή στην σύνθεση του, για την αύξηση της ανθεκτικότητας του κονιάματος σε συμβήκες πογετού κατά τους χειμερινούς μήνες, φθορά που έχει παρατηρηθεί στο μνημείο. Η εφαρμογή θα πρέπει να γίνει μετά από καλό καθαρισμό και διαβροχή της υποκείμενης επιφάνειας, ενώ ιδιαίτερη προσοχή πρέπει να δοθεί στην καλή συμπίεση του κονιάματος. Για την αποφυγή ρηγματώσεων το κονίαμα θα πρέπει να μείνει σε συνθήκες υψηλής υγρασίας για τουλάχιστον 15 ημέρες, ενώ θα πρέπει να ανανεώνεται όποτε κρίνεται αναγκαίο.

Η επέμβαση θα πρέπει να ελέγχεται συχνά από συντηρητή για την επιδιόρθωση μικρών ρωγμών που μπορεί να παρουσιαστούν. Η επιστρεψη της διατηρητικής πλησίστες στα νέας κεραμικές πλάκες της επιστρεψης προτείνεται ως γίνονταν δικαιημένης φρεσκάστησης τους με διάληψης παραποταμούς (όπως η KSE-100-Η KSE-510).

²¹ Λαμβάνοντας υπόψη την απόφαση του ΥΠΠΟΑ 07.06.2021 / ΔΑΒΜΜ με Α.Π. 260562 με θέμα: Έγκριση μελέτης αποκατάστασης Εργαστηρίου του Φειδία – Παλαιοχριστιανικής Βασιλικής Ολυμπίας, και καλύπτοντας τον όρο 13, σελίδα 3,

○ Συμπλήρωση διατερά φθαρμένων πλακών οπτόπλινθων

Στα σημεία με μεγάλη απώλεια μόδας των πλακών οπτόπλινθων (όπως στο ύψος της επίστεψης και στη ζώνη φθοράς που παρατηρείται, προτείνεται η αντικατάσταση ή συμπλήρωση με νέες πλάκες και αρμολόγηση με τη σύνθεση κονιάματος με καδικό Α12ν και ΑΜΥΧ2β. Στις περιπτώσεις που οι πλάκες δεν έχουν καταστραφεί ολοκληρωτικά, προτείνεται η κοπή των νέων κεραμικών πλακών στις κατάλληλες διαστάσεις και η συμπλήρωση τους στο εκλιπόν τημά. Το κονίαμα ΑΜΥΧ2β λόγω της μεγαλύτερης κοκκομετρίας προτείνεται να εφαρμοστεί ως κονίαμα δόμησης στις περιοχές με μεγαλύτερα κενά, ενώ το κονίαμα Α12ν θα τοποθετηθεί ως τελικό κονίαμα αριμολόγησης.

Χαρακτηριστική είναι η περίπτωση του τόξου στο παράθυρο του νότου τοίχου, όπου η απώλεια έιναι μεγάλη. Στην περίπτωση αυτή έιναι αναγκαία η κατασκευή ξυλότυπου για τη συγκράτηση των νέων πλακών οπτόπλινθων έως ότου η συμπλήρωση αποκτήσει τις απαραίτητες μηχανικές απογέξ²². Οι νέες οπτόπλινθοι θα είναι χειροποίητες, ψημένες σε ψηλής θερμοκρασίες (1.100°C) και θα ακολουθήσουν τις διαστάσεις των αυθεντικών.

○ Αποσάθρωση δομικών υλικών, εκτεθειμένες θεμελιώσεις, υγρασία

Σύμφωνα με την αρχιτεκτονική μελέτη, η ανύψωση με αδρανή κατάλληλης διαβάθμισης της στάθμης του εδάφους στο εσωτερικό του λυγημένου στο επίπεδο της βασιλικής θα καλύψει πλήρως τις εκτεθειμένες θεμελιώσεις στις κιονοστοιχίες, τον εγκάριο τοίχο, καθώς και τους τοιχοβάτες. Με τον τρόπο αυτό επιτυγχάνεται μια «παθητική» προστασία

των εκτεθειμένων επιφανειών από τα φανόμενα αποσάθρωσης παροχέτευση των ομβρίων υδάτων μέσω Drainage στην κοιλότητα των παλαιών ανασκαφών θα μείωσεται σημαντικά τα φαινόμενα τριχοειδούς αναρρίχησης των υδάτων στους ορθοστάτες και τα αρχηγικά αποτελέσματα της δράσης των διαλυτών αλάτων που αναφέρθηκε υωρίτερα. Ωστόσο προτείνεται η κατά τόπους ενίσχυση των υποθεμελίων στη ζώνη των στυλοβατών με το κονίαμα με καδικό ΣΠ3. 1β. Το κονίαμα αυτό θα τοποθετηθεί επιλεκτικά μόνο στα σημεία που οι λίθοι των θεμελίων παρουσιάζουν εικόνα εποικορροπίας και μετά από καλό καθαρισμό των φερτών υλικών και της πιθανής βλάστησης.

○ Σφραγίσεις, στερεώσεις, ενέματα

Ελάχιστα είναι τα σημεία όπου τα σωζόμενα επιχρύσματα χρήζουν συντήρησης και στερέωσης. Θεορείς παρατηρούνται σε επιχρύσματα κοντά στην κεντρική θύρα στον εγκάριο τοίχο εσωτερικά. Για τη στερέωση προτείνεται αρχικά η περιμετρική συγκράτηση τους (στεφάνωμα) με το κονίαμα με καδικό Α12ν και η ενίσχυση του στα σημεία αποκόλλησης με έγχυση ενέματος με καδικό Ε1.2, μέσω σωληνισμάτων. Η έγχυση προτείνεται να ξεκινήσει από τους χαμηλότερους σε στάθμη σωληνισμάτου και να συνεχιστεί προς τους ανώτερους. Με αυτό τον τρόπο ελέγχεται καλύτερα η πορεία του ενέματος. Στερέωση με ένεμα προτείνεται και για τη ρωγμή στο ανώφλι της κεντρικής θύρας στον εγκάριο τοίχο καθώς και στις ελάχιστες ρωγμές που παρατηρούνται στους λίθους του μνημείου.

○ Βιολογικές επικαθήσεις

²² Γ. Θυμάς, Προμελέτη συντήρησης και αποκατάστασης της Παλαιοχριστιανικής Βασιλικής (εργαστήριο του Φεδίου) στον αρχαιολογικό χώρο της Ολυμπίας, Γερμανικό Αρχαιολογικό Ινστιτούτο, Αθήνα, 2017.

υδρογόνου 10% σε απονισμένο νερό, σε μορφή κομπρέσας ή στάγδην. Η εφαρμογή του διαλύματος θα πρέπει διαρκεί περίπου 5 λεπτά και στη συνέχεια να γίνεται σχολαστικός καθαρισμός με υδροβιβόλεα (μέγιστη πίεση 3bar) και μολακή βιούρτα. Οι καθαρισμοί θα επικεντρωθούν κυρίως στα μαρμάρινα αρχιτεκτονικά μέλη και στα σημεία της τοιχοποίιας με έντονη βιολογική δράση. Λόγω των μεγάλων ποσοτών υγρασίας της περιοχής του αρχαιολογικού χώρου της Ολυμπίας, έχει διαπιστωθεί σύντομη επισυμφόρωση των βιολογικών επικαθίσεων (3 με 4 χρόνια), γεγονός το οποίο καθιστά αναγκαία την τακτική επανάληψη των καθαρισμών.

○ Αρμολογήσεις

Προτείνεται η εφαρμογή αρμολογήσεων κατά τόπους και μόνο στα σημεία όπου παρουσιάζονται μεγάλα κενά με βάση τα σχέδια της πρόστασης. Για τις αρμολογήσεις στην τοιχοποίια με οπόποινθους καθώς και στο πέτρινο σενάρι, προτείνεται η χρήση κυρίως του κονιάματος με κωδικό **A12v**, ενώ στις περιοχές με μεγάλη απώλεια προτείνεται η χρήση πρώτα του κονιάματος με κωδικό **ΑΜΥΧ2B**, λόγω της παρουσίας μεγαλύτερων σε μέγεθος αδρανών, και στη συνέχεια εξωτερική η χρήση του κονιάματος με κωδικό **A12v**. Απαραίτητος είναι ο σχολαστικός καθαρισμός της περιοχής προς αρμολόγηση από φυτά, ρίζες και φρετά υλικά. Προσοχή πρέπει να δοθεί στην καλή συμπίεση του κονιάματος καθώς και στη διατήρηση της υγρασίας για τουλάχιστον 7 ημέρες για τη σωστή αριμανσή του, με χρήση υγρού χαρτοβάμβακα και σφράγιση με μεμβράνη πολυαιθυλενίου.

○ Συγκολλήσεις αρχιτεκτονικών μελών

Για τις συγκολλήσεις των διάσπαρτων μαρμάρινων αρχιτεκτονικών μελών του ταυτιστηκαν προτείνεται η χρήση λευκού ταμπέντου Δανίας και ενίσχυση με εσωτερικές καρφίδες. Οι καρφίδες προτείνεται να κατασκευαστούν από κοκλιοτομημένες ράβδους πατινίου (grade 2, κατά ASTM 348). Οι θέσεις, ο αριθμός, το μήκος και η διάμετρος των καρφίδων θα καθοριστούν σύμφωνα με τη μελέτη στατικής επάρκειας του πολυμηχανικού Τ. Παναγιωτόπουλου. Πριν από τη συγκόλληση θα γίνει εξυγίανση της περιοχής θραύσης με λιθοδοκά εργαλεία και καλή διαβροχή. Τα διατήρηματα θα διανοιγθούν στις επιφάνειες θραύσης με δράπανο με αδαμαντοφόρο κεφαλή διαμέτρου περίπου 4mm μεγαλύτερη από τη διάμετρο των ράβδων. Μετά τη συγκόλληση των τμημάτων και για την πλήρη ανάπτυξη των μηχανικών αντοχών του συνόλου είναι απαραίτητη η πλήρης ακινητοποίηση του συγκολλημένου λίθου με τις απαραίτητες διατάξεις ψιλωτών αύστησης και αφρικήρων τουλάχιστον για 10 ημέρες. Σε όλο αυτό το χρονικό διάστημα θα διατηρηθεί η υγρασία στην περιοχή συγκόλλησης με τοποθέτηση υγρού χαρτοβάμβακα και σφράγιση με μεμβράνη πολυαιθυλενίου. Η αφράγηση των αριών στην περιοχή της συγκόλλησης, θα πραγματοποιηθεί με λεπτόκοκκο κονίαμα (KΣ) με υδραυλική άσβεστο ως συνδετικό υλικό, χαλαζιακή άμμο 0,1-0,3mm σε αναλογία συνδετικού προς αδρανές 1:3κ.β., και χρωστικές σε σκόνη για την κατάλληλη απόχρωση ανάλογα με το μέλος.

Για τον μοναδικό κίονα από γρανίτη που χρήζει συγκόλλησης (μέλη 94, 95) θα ακολουθηθεί η αντίστοιχη διαδικασία που περιγράφεται για τα μέλη από μάρμαρο. Στο σημείο της μεγάλης απώλειας που παραπτήρεται, σε κριθεί απαραίτητο για στατικούς λόγους, θα πραγματοποιηθεί συμπλήρωση με τεχνητό λίθο ακλουθώντας την γεωμετρία του κίονα. Το κονίαμα αυτό θα περιέχει χαλαζιακή άμμο 0,3 – 1mm, υδραυλική άσβεστο, σε αναλογία συνδετικού προς αδρανές 1:3κ.β., λευκό τομέντο Δανίας 10%, και χρωστικές σε ακόντι για την χρωματική ταύτιση με τον αυθεντικό λίθο. Η επιφάνεια της συμπλήρωσης μετά την αριμανσή του κονιάματος, θα επεξεργαστεί με κατάλληλη εργαδεία για την απόδοση της υφής του λίθου.

Βιβλιογραφία

- Βαρπογιάνη Ξ., Ολυμπία. Τόπος-Ιστορία-Αγώνες- Μουσεία, εκδ. Μίλητος, Αθήνα 2008.
- Bauer F.A., Oeppen A., Papapanastasis K., "Die Kirche von Olympia" Academia, 2020.
https://www.academia.edu/42713574/Die_Kirche_in_der_Werkstatt_des_Phidas_in_Olympia?email_work_card=view-paper
- Βικάστου Ο., Ολυμπία. Η ιστορική και πολιτιστική εξέλιξη του περιώνυμου νερού του Διός,, EΘΙΑΙΕ 32, 2008, σσ15-17.
- Γαλανού Α., Δογάνη Γ., Ιεροάι Κ., Παλαιοχριστιανική Βασιλική Αρχαία Ολυμπία – Μελέτη υφιστάμενων κονιαμάτων και πρόσαση νέων συνθέσεων κονιαμάτων συντήρησης. Αθήνα2018.
- Γαλανού Α., Δογάνη Γ., Καλαμβόκα Ν., Παλαιοχριστιανική Βασιλική Αρχαία Ολυμπία - Ολυμπία – Μελέτη συντήρησης, αναλύσεις υφιστάμενων κονιαμάτων και πρόσαση νέων συνθέσεων αποκατάστασης. Αθήνα2017.
- Δογάνη Γ., Καλαμβόκα Ν., Γαλανού Α., Παλαιοχριστιανική Βασιλική Αρχαία Ολυμπία - Μελέτη αυθεντικών δομικών υλικών και σχεδιασμώς νέων συνθέσεων κονιαμάτων συντήρησης. Αθήνα, Ιούλιος 2020
- Higgins MD., Higgins R., *A Geological comparison to Greece and the Aegean*. Cornell University Press, Duckworth Publishes, Ithaka NY, London 1996, pp, 67,68.
- Θωμάς Γ., Προμελέτη συντήρησης και αποκατάστασης της Παλαιοχριστιανικής Βασιλικής (εργαστήριο του Φεδίου) στον αρχαιολογικό χώρο της Ολυμπίας. Γερμανικό Αρχαιολογικό Ινστιτούτο, Αθήνα, 2017.
- Καμπέρης Ε., Γεωλογική και πετρελαιογεωλογική μελέτη ΒΔ Πελοποννήσου. Διδακτορική Διττοβίθη, Τμήμα Μηχανικών Μεταλλείων-Μεταλλουργών, Ε.Μ.Π., Αθήνα, 1987, 159 σελ.
- Κουφαλά Ε., Η μετάλλαξη της Αρχαίας Ολυμπίας και την Ηλιάδος κατά τη διάρκεια της Πρωτοβιζαντινής εποχής. Η ανάδειξη και διαχείριση των αρχαιολογικών τους χώρων και των μουσείων τους. Μεταπτυχιακή Διπλωματική Εργασία. Πανεπιστήμιο Πελοποννήσου, Σχολή Ανθρωποτυπικών Επιστημών και Πολιτισμικών Σπουδών, Τμήμα Φιλολογίας, 2019.
- Παπεράκη N.K., Η Ολυμπία κατά την αρχαιότητα και κατά τον 180 - 190 αι., μέσα από τις ταξιδιωτικές αναφορές των ευρωπαίων περιηγητών, Αριάδην 18, 2012, σσ189-222.
- Senff R., Έρευνες πεδίου, Ολυμπία, DAI Athenea, Γερμανικό Αρχαιολογικό Ινστιτούτο, Παράρτημα Αθηνών, 2017, σσ 60-63.
- Φουντουλης I., Μαριολάκος Η., Μαυρούλης Σ., Λαδάς I., Πλημμυρικές περιόδοι κατά τους προϊστορικούς και ιστορικούς χρόνους στον ποταμό Κλαδέο-Αρχαία Ολυμπία. in: G. Migiros, G. Stamatis, G. Stourmaras (eds.), 8th International Hydrogeological Congress of Greece 3rd MEM Workshop on Fissured Rocks . 86, 2008.
- Vött A., Fischer P., Hadler H, κ.ά, Sedimentary burial of ancient Olympia (Peloponnese, Greece) by high-energy flood deposits – the Olympia Tsunami Hypothesis”, in: C. Grützner, R. Pérez-Lopez, T. Fernández Steeger, κ.ά. (eds.), *Earthquake Geology and Archaeology: Science, Society and Critical facilities. Proceedings of the 2nd INQUA-IGCP 567 International Workshop on Active Tectonics, Earthquake Geology, Archaeology and Engineering*, Corinth, Greece 2011, pp, 259-262.
- To παρόν σχέδιο συνοδεύεται
την με αριθ. πρωτ. 260562/7-6-2021
ΥΠ.ΠΟ.Α./ΓΔΑΜΤΕ/ΔΑΒΜ...../
Απόφαση.
*
- ΕΛΛΗΝΙΚΗ ΔΗΜΟΚΡΑΤΙΑ
ΥΠΟΥΡΓΕΙΟ ΠΟΛΙΤΙΣΜΟΥ
Εθνικό Μουσείο
ΒΔΟΧΟΥΛΗΣ
Επίκουρη Καθηγητικός ή/κ' Βαθικό
ΥΠΟΥΡΓΟΣ
*

ΠΙΝΑΚΑΣ ΣΧΕΔΙΩΝ

Κωδικός Σχεδίου	Θέμα	Περιγραφή	Κλίμακα
1	Βόρειος και νότιος τοίχος, εξωτερική όψη	Παθολογία φθορών	1:50
2	Βόρειος τοίχος, εσωτερική όψη	Παθολογία φθορών	1:50
3	Ανατολικός και δυτικός τοίχος, εξωτερική όψη	Παθολογία φθορών	1:50
4	Ανατολικός τοίχος, εσωτερική όψη	Παθολογία φθορών	1:50
5	Δυτικός τοίχος, εσωτερική όψη, εγκάρσιος τοίχος, ανατολική και δυτική όψη	Παθολογία φθορών	1:50
6	Νότιος τοίχος εσωτερική όψη	Παθολογία φθορών	1:50
7	Κάτοψη	Παθολογία φθορών	1:50
8	Βόρειος και νότιος τοίχος, εξωτερική όψη	Επεμβάσεις συντήρησης	1:50
9	Βόρειος τοίχος, εσωτερική όψη	Επεμβάσεις συντήρησης	1:50
10	Ανατολικός και δυτικός τοίχος, εξωτερική όψη	Επεμβάσεις συντήρησης	1:50
11	Ανατολικός τοίχος, εσωτερική όψη	Επεμβάσεις συντήρησης	1:50
12	Δυτικός τοίχος, εσωτερική όψη, εγκάρσιος τοίχος, ανατολική και δυτική όψη	Επεμβάσεις συντήρησης	1:50
13	Νότιος τοίχος εσωτερική όψη	Επεμβάσεις συντήρησης	
14	Κάτοψη	Επεμβάσεις συντήρησης	1:50





ΛΙΣΤΑ ΕΙΚΟΝΩΝ

Εικόνα 1. Εικόνα δορυφόρου της Δυτικής Πελοπονήσου και της τοποθεσίας της Αρχαίας Ολυμπίας (πηγή: Google Earth).....	4
Εικόνα 2. Συνοπτικός γεωλογικός χάρτης Δ. Πελοποννήσου. (Επεξεργασμένος χάρτης, Καμπέρης 1987).....	4
Εικόνα 3. Άποψη του αρχαιολογικού χώρου της Ολυμπίας μετά τις πρώτες ανασκαφές. Διακρίνεται το ύψος του εργαστηρίου του Φειδία. (αρχείο DAI, D-DAI-ATH-Olympia-0227).....	5
Εικόνα 4. Εικόνα δορυφόρου της τοποθεσίας του μνημείου του εργαστηρίου του Φειδία (Βασιλή), (πηγή: Google Earth)	6
Εικόνα 5. Το εργαστήριο του Φειδία. Λήψη από νοτιοδυτικά (Imantosis)	6
Εικόνα 6. Νοτιοδυτική όψη, εξωτερικά (DAI Athen)	7
Εικόνα 7. Βορειοδυτική όψη, εξωτερικά (DAI Athen)	7
Εικόνα 8. Εγκάρσιος εσωτερικός τοίχος, δυτική όψη (DAI Athen)	7
Εικόνα 9. Ανατολικός τοίχος, ανατολική όψη (DAI Athen)	7
Εικόνα 10. Εγκάρσιος εσωτερικός τοίχος, ανατολική όψη (DAI Athen)	7
Εικόνα 11. Ανατολικός τοίχος, δυτική όψη (DAI Athen)	7
Εικόνα 12. Δυτικός τοίχος, ανατολική όψη (DAI Athen)	7
Εικόνα 13. Γενική όψη εσωτερικού βασιλικής (DAI Athen)	7
Εικόνα 14. Τημέα νότιου τοίχου, νότια όψη (DAI Athen)	7
Εικόνα 15. Μάρμαρο και φαιός ασβεστόλιθος (DAI Athen)	9
Εικόνα 16. Κορυκιλόπτη λίθος (DAI Athen)	9
Εικόνα 17. Φαιοκίτρινος ψαμμίτης (DAI Athen)	9
Εικόνα 18. Οπτή άργιλος και σενάρι από λίθους (DAI Athen)	9
Εικόνα 19. Ασβεστοκονιάματα (DAI Athen)	9
Εικόνα 20. Πηλοκονιάματα (DAI Athen)	9
Εικόνα 21. Αποσάθρωση δομικού υλικού. (DAI Athens).....	13



Εικόνα 22. Απώλεια μάζας τοιχοποίας. (DAI Athens)	13
Εικόνα 23. Ρυγμές - Θραύσεις. (DAI Athens)	13
Εικόνα 24. Βιολογικές επικαθίδεις. (DAI Athens)	13
Εικόνα 25. Δράση χλωρίδας – ανεπιθύμητη βλάσπηση. (DAI Athens)	13
Εικόνα 26. Δράση χλωρίδας – ανεπιθύμητη βλάσπηση. (DAI Athens)	13
Εικόνα 27. Απώλεια αιθεντικού κονιάματος αρμολόγησης – δόμησης (DAI Athen)	14
Εικόνα 28 Εποικορροπία, μετακίνηση δομικού στοιχείου. (DAI Athen)	14
Εικόνα 29. Συσσώρευση υδάτων βροχής στο εσωτερικό του μνημείου (DAI Athen)	14
Εικόνα 30. Προηγούμενες επεμβάσεις, στεφάνωμα σε ευπαθές επίχρισμα (DAI Athen)	14
Εικόνα 31. Προηγούμενες επεμβάσεις, Προσωρινή υποστήλωση με σωληνωτά στοιχεία (μπουτέλια) και συμπλήρωση θωρακίου με τοιμεντοκονίαμα. (DAI Athens).....	14
Εικόνα 32. Προηγούμενες επεμβάσεις. Συγκράτηση με κονίαμα ρωμαϊκής αβαθούς δεξαμενής στο ιερό. (DAI Athen)	14
Εικόνα 33. Προηγούμενες επεμβάσεις. Τοιμεντοκονίαμα στην επίστεψη του μνημείου το οποίο έχει αστοχήσει (DAI Athen)	15
Εικόνα 34. Προηγούμενες επεμβάσεις. Αποκατάσταση Άμβωνα (DAI Athens)	15
Εικόνα 35. Προηγούμενες επεμβάσεις. Τοποθέτηση ανοξειδώτου υποστηλώματος ανωφλίου (DAI Athen)	15
Εικόνα 36. Θέσεις δειγματοληψίας για τα δείγματα OB1 και OB3. Φωτογραμμετρική αποτύπωση βόρειου τοίχου εσωτερικά (Imantosis)	16
Εικόνα 37. Θέσεις δειγματοληψίας για τα δείγματα OB2 και OB4. Φωτογραμμετρική αποτύπωση νότιου τοίχου εσωτερικά (Imantosis)	16
Εικόνα 38. Θέσεις δειγματοληψίας για τα δείγματα OB2 και OB4. Φωτογραμμετρική αποτύπωση δυτικού τοίχου εσωτερικά (Imantosis)	16
Εικόνα 39. Δείγμα 1. OB1(DAI Athen)	17
Εικόνα 40. Δείγμα 2. OB2(DAI Athen)	17
Εικόνα 41. Δείγμα 3. OB3(DAI Athen)	17
Εικόνα 42. Δείγμα 4. OB4(DAI Athen)	17
Εικόνα 43. Δείγμα 5. OB5(DAI Athen)	17